

01;04;09

Радиочастотные источники плазмы малой мощности для технологических приложений.

III. Геликонные источники плазмы

© К.В. Вавилин,¹ А.А. Рухадзе,² М.Х. Ри,¹ В.Ю. Плаксин¹

¹ Московский государственный университет им. М.В. Ломоносова, 119992 Москва, Россия

² Институт общей физики РАН, 119991 Москва, Россия

(Поступило в Редакцию 10 сентября 2003 г.)

Третья часть статьи посвящена исследованию так называемых геликонных источников плазмы — радиочастотных источников плазмы при наличии внешнего относительно слабого магнитного поля. Вместе с тем магнитное поле является достаточно сильным, чтобы ларморовская частота вращения электронов была много больше резонансной для промышленной частоты ($\omega = 8.52 \cdot 10^7 \text{ s}^{-1}$). Как и в [1,2], рассмотрены удлиненные цилиндрические источники плазмы в продольном (вдоль оси цилиндра) магнитном поле и плоские дискообразные источники в поперечном (перпендикулярно плоскости диска) магнитном поле. Проводится сравнение результатов с результатами работы [3], полученными без использования геликонного приближения. Исходя из сравнения делается вывод о перспективности использования удлиненных геликонных источников в плазменных технологиях.

Введение

В настоящей статье, являющейся продолжением [1,2], развивается аналитическая теория радиочастотных источников плазмы во внешнем относительно слабом магнитном поле, известных в литературе как источники геликонного типа. Источник плазмы геликонного типа впервые был предложен Р.В. Босвеллом [4] и первая теория таких источников была развита Ф. Ченом [5]. Экспериментальные исследования [6] не полностью подтвердили теорию Ф. Чена, о чем указано в обзоре [7] (обзорные статьи по источникам плазмы см. в сборнике [8], где приведена подробная библиография). Правильная теория таких источников была построена в работах [9–11], в общих чертах которым мы и следуем.

Ниже будут рассмотрены источники плазмы той же геометрии, что и в [1] (рис. 1), при наличии внешнего постоянного магнитного поля \mathbf{B}_0 , параллельного оси OZ , т.е. $\mathbf{B}_0 \parallel OZ$. При этом считаются выполненными условия

$$v_e \ll \omega \ll \Omega_e \ll \omega_{Le}, \quad (1.1)$$

где ω — частота радиочастотного поля, $\omega_{Le} = \sqrt{4\pi e^2 n_e / m_e}$ — ленгмюровская, а $\Omega_e = eB_0 / mc$ — ларморовская частоты электронов, v_e — частота их столкновений. Величины же L , R , и P_0 уже вводились в [1]. Неравенства (1.1) ограничивают напряженность магнитного поля \mathbf{B}_0 снизу и сверху (при $n_e \leq 10^{13} \text{ cm}^{-3}$)

$$20 \text{ Gs} \ll \mathbf{B}_0 \ll 10^4 \text{ Gs}. \quad (1.2)$$

Как и в [1], для параметров плазмы источника считаются выполненными условия

$$\omega \gg v_e, k_z V_{Te}; \quad \Omega_e \gg k_{\perp} V_{Te}, \quad (1.3)$$

где $k_z = \pi n / L$ (причем $n = 1, 2, 3, \dots$) — продольная компонента волнового вектора, $k_{\perp} = \mu_n / R$ — поперечная компонента, причем μ_n — корни функции Бесселя либо ее производной.

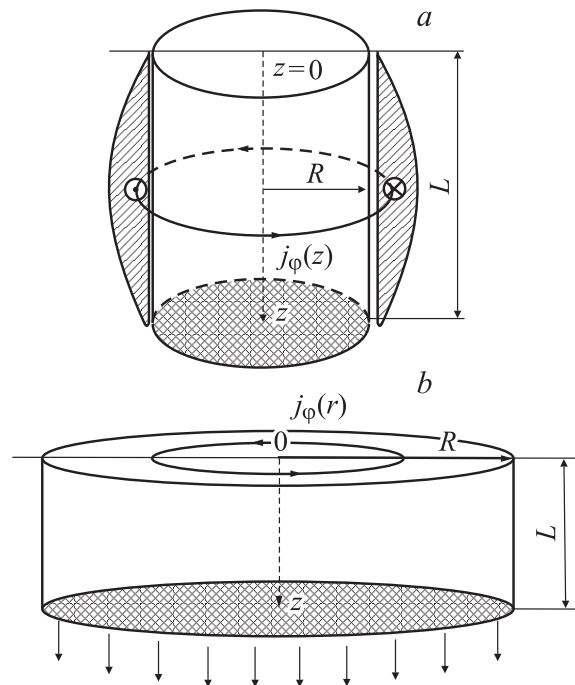


Рис. 1.

В этих ограничениях для описания плазмы мы можем воспользоваться следующим выражением для диэлектрической проницаемости [2]:

$$\varepsilon_{ij} = \begin{pmatrix} \varepsilon_{\perp} & ig & 0 \\ -ig & \varepsilon_{\perp} & 0 \\ 0 & 0 & \varepsilon_{\parallel} \end{pmatrix}. \quad (1.4)$$

Уравнения поля в компонентах (уравнениях Максвелла) для низкочастотного аксиально-симметричного поля в магнитоактивной плазме в цилиндрической системе координат записываются в виде (для зависимостей $f(r, z) \exp(-i\omega t)$)

$$\begin{aligned} -ic \frac{\partial E_{\varphi}}{\partial z} + \omega B_z &= 0, & -ic \frac{\partial E_z}{\partial z} + ic \frac{\partial E_z}{\partial r} - \omega B_r &= 0, \\ -ic \frac{\partial E_z}{\partial z} - \omega(\varepsilon_{\perp} E_r + ig E_{\varphi}) &= 0, & \frac{1}{r} \frac{\partial}{\partial r} r B_{\varphi} + i\omega \varepsilon_{\parallel} E_z &= 0, \\ \frac{c}{r} \frac{\partial}{\partial r} r E_{\varphi} - i\omega B_z &= 0, \\ -ic \frac{\partial B_r}{\partial z} + ic \frac{\partial B_z}{\partial r} - \omega(ig E_z - \varepsilon_{\perp} E_{\varphi}) &= -4\pi i j_{\varphi}. \end{aligned} \quad (1.5)$$

Параметры плазмы такие же как и в статьях [1,2], т.е. $n_e = 10^{11} - 10^{13} \text{ см}^{-3}$, $T_e = 5 \text{ eV}$, $p_0 \leq 10^{-3} \text{ Торр}$, $R \geq 5 \text{ см}$, $L \geq 10 \text{ см}$. Легко показать, что в этих условиях выполняются неравенства (1.1) и (1.3).

Удлиненный геликонный источник плазмы ($L > 2R$)

В этом случае явными выражениями для компонент тензора ε_{ij} являются выражения

$$\begin{aligned} \varepsilon_{\parallel} &= 1 - \frac{\omega_{Le}^2}{\omega^2} \left(1 - i \frac{v_e}{\omega}\right) + i \sqrt{\frac{\pi}{2}} \frac{\omega_{Le}^2 \omega}{|k_z|^3 V_{Te}^3} \exp\left(-\frac{\omega^2}{2k_z^2 V_{Te}^2}\right), \\ \varepsilon_{\perp} &= 1 + \frac{\omega_{Le}^2}{\Omega_e^2} \left(1 + i \frac{v_e}{\omega}\right), \\ g &= \frac{\omega_{Le}^2}{\omega \Omega_e} \left(1 + 2i \frac{\omega v_e}{\Omega_e^2}\right). \end{aligned} \quad (2.1)$$

Ток в антенне j_{φ} , расположенной на боковой поверхности источника (рис. 1, а), определяется выражением

$$j_{\varphi} = I_0 \frac{k_z}{2} \delta(r - R) e^{-i\omega t} \sin k_z z, \quad (2.2)$$

где $k_z = \pi/L$ — продольное волновое число, I_0 — полный ток антенны.

В общем случае решение системы уравнений (1.5) связано со значительными трудностями, поскольку она описывает две связанные между собой волны, так называемые E - и H -волны. Только в случае пространственно неограниченной плазмы эти волны оказываются независимыми и представляют собой собственные моды

колебаний замагниченной плазмы. Анализ системы (1.5) для цилиндрического источника в общем случае удается лишь численно. Вместе с тем в геликонном пределе, т.е. пределе достаточно плотной плазмы, в первом приближении мы можем воспользоваться соотношениями

$$E_z^h = \frac{ic}{r\omega\varepsilon_{\parallel}} \frac{\partial}{\partial r} r B_{\varphi} \rightarrow 0, \quad E_r^h = i \frac{g\omega^2}{c^2 k_z^2} E_{\varphi}^h. \quad (2.3)$$

Применимость соотношений (2.3) основана на неравенствах ($k^2 = k_z^2 + k_{\perp}^2$)

$$\frac{c^2 k^2}{\omega_{Le}^2} \ll 1, \quad \frac{\omega}{\Omega_e} < \frac{\omega^2}{c^2 k_z^2} \varepsilon_{\perp} \approx \frac{\omega_{Le}^2 \omega^2}{\Omega_e^2 c^2 k_z^2} \ll 1, \quad (2.4)$$

известных как условия применимости геликонного приближения. Отметим, что левая часть второго неравенства (2.4) определяет прозрачность плазмы для геликонного поля.

Используя условия (2.4), из системы (1.5) получаем уравнение для E_{φ}^h компоненты геликонного поля

$$\frac{\partial}{\partial r} \frac{1}{r} \frac{\partial}{\partial r} r E_{\varphi}^h - \left(\tilde{k}_z^2 - \frac{\omega^4 g^2}{c^4 k_z^2} \right) E_{\varphi}^h = -\frac{4\pi i \omega}{c^2} j_{\varphi} \quad (2.5)$$

которое ниже и решается аналитически. Заметим, что величина

$$\tilde{k}_z^2 = k_z^2 - \frac{\omega^2}{c^2} \varepsilon_{\perp}$$

содержит малое второе слагаемое, которое правильно учитывает поглощение геликонного поля в плазме, поскольку $\text{Im } g$ — пренебрежимо малая величина.

Таким образом, из использованного приближения следует, что антенна с азимутальным током j_{φ} в плотной плазме возбуждает чисто геликонное поле (H -волну), которое затем становится источником возбуждения низкочастотной потенциальной E -волны в замагниченной плазме (косой ленгмюровской волны или моды Трайвеллеса–Гоулда). В отличие от геликонной волны, которая в рассматриваемых условиях очень слабо поглощается в плазме (из-за малости $\text{Im } g$), поле E -волны, вообще говоря, достаточно сильно диссипирует и греет плазму.

Будем решать уравнение (2.5) независимо вне плазмы (при $r > R$ и $j_{\varphi} = 0$) и внутри плазмы (при $r > R$ и $j_{\varphi} = 0$) и далее сошьем найденные решения, воспользовавшись граничными условиями, выводимыми из самой системы (1.5) путем интегрирования вблизи боковой границы источника с учетом тока,

$$\{E_{\varphi}^h\}_{r=R} = 0, \quad \left\{ \frac{\partial E_{\varphi}^h}{\partial r} \right\}_{r=R} = \frac{4\pi\omega}{c^2} \frac{k_z}{2} I_0. \quad (2.6)$$

При выводе этих условий был использован явный вид тока антенны на боковой поверхности источника (2.2).

Общее решение уравнения (2.5) внутри и вне плазмы имеет вид

$$E_{\varphi} = \begin{cases} C_1 J_1(k_1 r), & r \leq R, \\ C_2 K_1(k_z r), & r \geq R, \end{cases} \quad (2.7)$$

где

$$k_1^2 = \frac{\omega^4 g^2}{c^4 \tilde{k}_z^2} - \tilde{k}_z^2. \quad (2.8)$$

Коэффициенты C_1 и C_2 , согласно граничным условиям (2.6), удовлетворяют уравнениям

$$C_1 J_1(k_1 R) - C_2 K_1(k_z R) = 0,$$

$$C_1 k_1 J_1'(k_1 R) - C_2 k_z K_1(k_z R) = -\frac{2\pi\omega}{c^2} I_0. \quad (2.9)$$

Из этих уравнений легко находим коэффициенты C_1

$$C_1 = -\frac{2\pi\omega k_z}{c^2} I_0 \times \frac{K_1(k_z R)}{k_1 J_1'(k_1 R) K_1(k_z R) - k_z J_1(k_1 R) K_1'(k_z R)} \quad (2.10)$$

и C_2

$$C_2 = -\frac{2\pi\omega k_z}{c^2} I_0 \times \frac{J_1(k_1 R)}{k_1 J_1'(k_1 R) K_1(k_z R) - k_z J_1(k_1 R) K_1'(k_z R)}. \quad (2.11)$$

В отличие от источников плазмы в отсутствие внешнего магнитного поля в рассматриваемом случае наличие такого поля приводит к возможности возбуждения в плазме объемных волн. Такое возбуждение имеет место при выполнении дисперсионного соотношения (которое соответствует пределу $C_{1,2} \rightarrow \infty$)

$$k_1 J_1'(k_1 R) K_1(k_z R) - k_z J_1(k_1 R) K_1'(k_z R) = 0. \quad (2.12)$$

Это уравнение описывает объемные геликонные волны при $k_1^2 > 0$. Учитывая это условие, для удлиненного источника плазмы ($L \geq 10$ см, $R \leq 5$ см) перепишем уравнение (2.12) в виде

$$\frac{J_1'(k_1 R)}{J_1(k_1 R)} = \frac{k_z}{k_1} \frac{K_1'(k_z R)}{K_1(k_z R)} \approx -\frac{0.6k_z}{k_1} \ll 1. \quad (2.13)$$

Решения этого уравнения с хорошей степенью точности равны

$$k_1^2 R^2 \approx \pi^2 (n + 1/2)^2, \quad (2.14)$$

где $n = 1, 2, 3, \dots$

Отсюда для определения резонансных значений магнитного поля (или плотности плазмы) имеем

$$\frac{\omega^2 \omega_{Le}^2 R^2}{\Omega_e^2 c^2 k_z^2} \approx \frac{\pi^2 R^2}{L^2} + \pi^2 (n + 1/2)^2. \quad (2.15)$$

Теперь мы можем записать условия применимости геликонного приближения в явном виде, основываясь на неравенствах (2.4),

$$\frac{3 \cdot 10^{12}}{L^2} \left(1 + \frac{L^2}{R^2}\right) \ll n_e \ll 10^{11} \frac{B_0^2}{L^2}, \quad n_e > \frac{5 \cdot 10^{11} B_0}{L^2} \quad (2.4)'$$

При $L = 15$ см и $R = 5$ см эти условия могут выполняться только в плотной плазме при $n_e \gg 10^{11}$ см $^{-3}$ в пределе достаточно сильных полей $B_0 \gg 10$ Гс. Очевидно также, что условие существования объемной гели-

конной волны (2.15) не должно выходить за рамки (2.4)'. Для приведенных выше параметров плазмы это действительно так, если $n_e > 7 \cdot 10^{11} B_0 / RL \geq 4 \cdot 10^{11}$ см $^{-3}$.

Таким образом, в условиях (2.12)–(2.15), когда возможно возбуждение объемных геликонных волн, в области $r \leq R$ имеем

$$E_\phi^h = C_1 J_1(k_1 r), \quad E_r^h = \frac{ig\omega^2}{c^2 k_z^2} E_\phi^h, \quad (2.16)$$

где C_1 дается формулой (2.10).

При возбуждении объемных геликонных волн в удлиненном источнике плазмы поля E_ϕ^h и E_z^h в резонансе становятся достаточно большими из-за слабой диссипации энергии геликонного поля в плазме. Это в свою очередь приводит к тому, что геликонное поле, в частности поле E_ϕ^h , станет источником возбуждения в плазме низкочастотного потенциального поля E -волны (моды Трайвелписа–Гоулда). Потенциал поля E -волны при этом будет определяться уравнением Пуассона с источником

$$\frac{1}{r} \frac{\partial}{\partial r} r \varepsilon_\perp \frac{\partial \Phi}{\partial r} - k_z^2 \varepsilon_\parallel \Phi = \frac{ig}{r} \frac{\partial}{\partial r} (r - E_\phi^h). \quad (2.17)$$

Правая часть этого уравнения считается заданной, т.е. мы имеем дифференциальное уравнение колебаний с вынуждающей силой. Действительно, подставляя в (2.17) поле E_ϕ^h , из (2.16) получаем

$$\frac{\partial^2 \Phi}{\partial r^2} + \frac{1}{r} \frac{\partial \Phi}{\partial r} - k_z^2 \frac{\varepsilon_\parallel}{\varepsilon_\perp} \Phi = \frac{ig}{\varepsilon_\perp} k_1 C_1 J_0(k_1 r). \quad (2.18)$$

В результате находим вынужденное решение

$$\Phi(r) = -\frac{ig}{k_1^2 \varepsilon_\perp + k_z^2 \varepsilon_\parallel} C_1 J_0(k_1 r). \quad (2.19)$$

Компоненты поля потенциальной волны Трайвелписа–Гоулда E_z^L и E_r^L , возбуждаемой геликоном, даются выражениями

$$E_z^L = -\frac{\partial \Phi}{\partial z} = \frac{-gk_1 k_z}{k_1^2 \varepsilon_\perp + k_z^2 \varepsilon_\parallel} C_1 J_0(k_1 r) \approx \frac{k_1 \omega}{k_z \Omega_e} C_1 J_0(k_1 r),$$

$$E_r^L = -\frac{\partial \Phi}{\partial r} = \frac{igk_1^2}{k_1^2 \varepsilon_\perp + k_z^2 \varepsilon_\parallel} C_1 J_1(k_1 r) \approx -i \left(\frac{k_1 \omega}{k_z \Omega_e} \right)^2 C_1 J_1(k_1 r). \quad (2.20)$$

Из этих выражений видно, что наряду с геликонным резонансом, описываемым дисперсионным уравнением (2.12), в принципе возможен и резонанс Трайвелписа–Гоулда при условии

$$k_1^2 \varepsilon_\perp + k_z^2 \varepsilon_\parallel = 0. \quad (2.21)$$

Это уравнение представляет собой условие существования объемных потенциальных E -волн, возбуждаемых

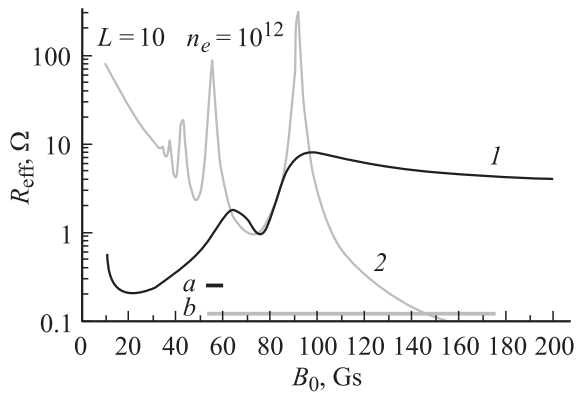


Рис. 2. Расчет: 1 — из работы [3], 2 — по формуле (2.24). *a* — область прозрачности плазмы к геликонному полю, *b* — область применимости геликонного предела.

геликонной волной. В резонансных условиях (2.21) компоненты поля E_z^L сильно возрастают, поэтому максимальная эффективность работы источника плазмы, очевидно, будет достигаться при выполнении двойного резонанса, как геликонного (2.12), так и потенциального (2.21). Вместе с тем следует отметить, что для удлиненного геликонного источника плазмы в условиях (2.4) второе слагаемое в (2.21) всегда много больше первого, поэтому это уравнение выполняться не может, или, другими словами, в геликонном приближении резонанс Трайвелписа–Гоулда невозможен. Так что выполнение двойного резонанса в источнике не реализуется.

В любом случае полные поля в плазме есть сумма геликонного и потенциального полей

$$E_z = E_z^L, \quad E_r^L = E_r^h + E_r^L \approx E_r^h, \quad E_\phi = E_\phi^h. \quad (2.22)$$

В заключение обсудим кратко вопрос о мощности радиочастотного поля, поглощаемой плазмой источника,

$$\mathcal{P}_W = \frac{\omega}{4\pi} \int_0^R dr \left\{ \text{Im} \varepsilon_{\parallel} |E_z|^2 + \text{Im} \varepsilon_{\perp} |E_r|^2 + \text{Im} g (E_z E_\phi^* - E_\phi E_z^*) \right\}. \quad (2.23)$$

Последним слагаемым в этом выражении из-за малости $\text{Im} g$ можно пренебречь.

Подставляя далее в (2.23) явные выражения полей E_z и E_r после интегрирования окончательно получим

$$\begin{aligned} \mathcal{P}_W &= \frac{4\pi^2 \omega^2 k_z^2 I_0^2}{8c^4} \frac{\omega R^2 L K_1^2(k_z R)}{|k_1 J_1'(k_1 R) K_1(k_z R) - k_z J_1(k_1 R) K_1'(k_z R)|^2} \\ &\times \left\{ \left(\frac{k_1 \omega}{k_z \Omega_e} \right)^2 \text{Im} \varepsilon_{\parallel} (J_0^2(k_1 R) + J_1^2(k_1 R)) \right. \\ &+ \left. \text{Im} \varepsilon_{\perp} \left(1 + \frac{g^2 \omega^4}{c^4 k_z^2} \right) (J_1^2 + J_2^2 - 2J_0^2 J_1^2 / k_1 R) \right\} \\ &\equiv R_{\text{eff}} I_0, \end{aligned} \quad (2.24)$$

где R_{eff} — эквивалентное омическое сопротивление плазмы источника.

На рис. 2–7 приведены зависимости R_{eff} от магнитного поля B_0 для $R = 5$ см и различных значений L и n_e , рассчитанные по формуле (2.24) (кривая 2) и взятые из статьи [3] (кривая 1). Видно, что вблизи геликонных резонансов, определяемых приближенным условием (2.14), омическое сопротивление резко возрастает — более чем на порядок, причем основной вклад

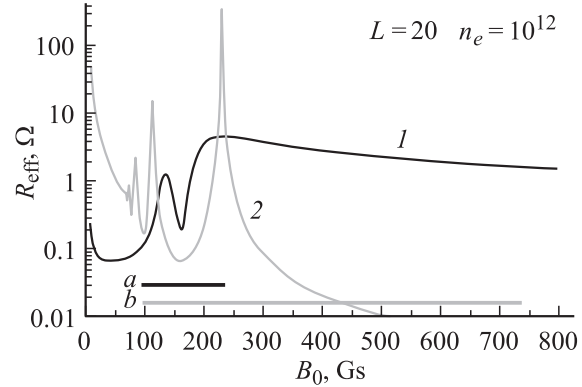


Рис. 3. То же, что и на рис. 2.

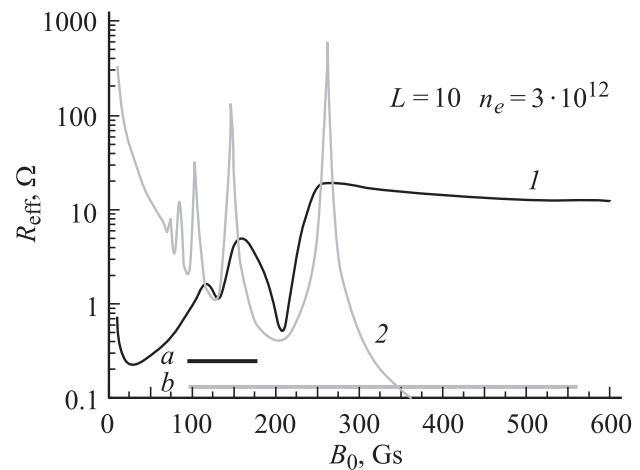


Рис. 4. То же, что и на рис. 2.

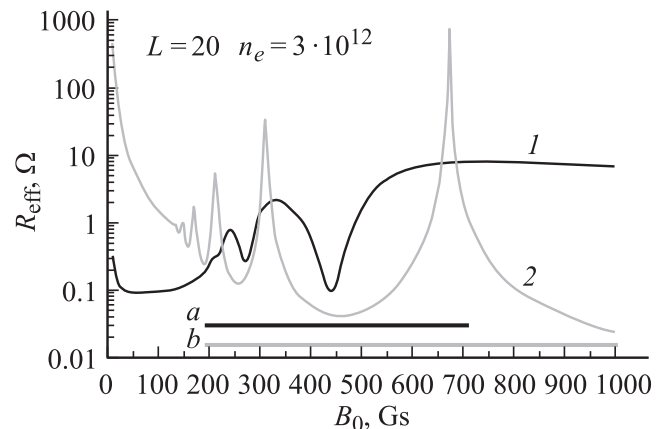


Рис. 5. То же, что и на рис. 2.

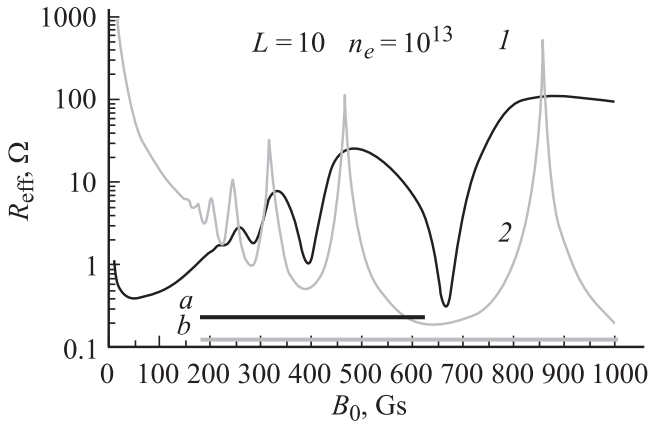


Рис. 6. То же, что и на рис. 2.

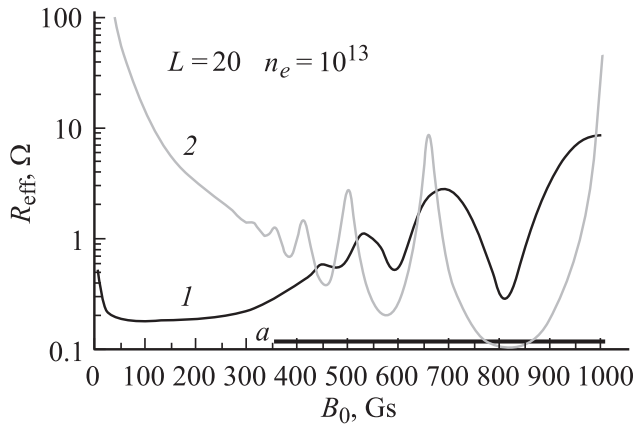


Рис. 7. То же, что и на рис. 2.

в поглощение дают E_r^h -компоненты геликонной волны и компонента E_z^L , соответствующая возбуждению в плазме потенциального поля (моды Трайвелписа–Гоулда). Отметим также, что кривые, рассчитанные в геликонном пределе, качественно согласуются с точными в условиях прозрачности плазмы для геликонного поля. Это относится к положению и величинам сопротивления в резонансах, причем внизу на рисунках линией a указана область прозрачности плазмы к геликонному полю, а линией b — область применимости геликонного предела. Однако следует заметить, что точное решение дает более гладкие кривые, чем геликонное.

Плоский дискообразный геликонный источник плазмы ($2R > L$)

Так же как и в [1,2], полагаем, что антенна с азимутальным током

$$j_\varphi = \frac{I_0 \mu \delta(z)}{R [1 - J_0(\mu)]} J_1\left(\mu \frac{r}{R}\right) e^{-i\omega t} = \frac{I_0}{R} q \delta(z) J_1\left(\mu \frac{r}{R}\right) e^{-i\omega t}, \quad (3.1)$$

где $J_0(x)$ — функции Бесселя, $J_1(\mu) = 0$ (т.е. $\mu \approx 3.8$), $q = \mu / (1 - J_0(\mu)) \approx 2.7$, расположена на верхнем торце цилиндра¹ (рис. 1, b). Боковая же поверхность цилиндра, так же как и его нижний торец, считается металлической. В плоском дискообразном источнике $2R \gg L$ уравнение для поля

$$E_\varphi^h = \tilde{E}_\varphi^h(z) J_1\left(\mu \frac{r}{R}\right)$$

в геликонном приближении (2.4) с учетом (3.1) записываются в виде

$$\frac{\partial^2 \tilde{E}_\varphi^h}{\partial z^2} - \frac{\mu^2}{R^2} \tilde{E}_\varphi^h + \frac{\omega^2}{c^2} \varepsilon_{\text{eff}}(\omega) \tilde{E}_\varphi^h = 0. \quad (3.2)$$

Здесь $\varepsilon_{\text{eff}} = \varepsilon_\perp + g$ определяется формулами (2.1), причем малое слагаемое $\varepsilon_\perp \ll g$ оставлено для правильного учета поглощения геликонного поля в плазме, поскольку $\text{Im} \varepsilon_\perp \ll \text{Im} g$. Отметим также, что в рассматриваемых условиях радиальное поле $E_r^h(z, r) = iE_\varphi^h(r, z)$. Уравнение (3.2) пригодно как в плазме (при $0 \leq z \leq L$), так и вне плазмы (при $z < 0$). Поэтому мы можем его решать в соответствующих областях, а затем сшить решения, используя граничные условия

$$\{\tilde{E}_\varphi^h\}_{z=R} = 0, \quad \left\{ \frac{\partial \tilde{E}_\varphi^h}{\partial z} \right\}_{z=0} = -\frac{4\pi i \omega}{c^2 R} q I_0 \{\tilde{E}_\varphi^h\}_{z=0} = 0. \quad (3.3)$$

Далее мы можем общее решение уравнения (3.2)

$$\tilde{E}_\varphi^h(z) = \begin{cases} C_1 e^{k_0 z}, & z < 0, \\ C_2 e^{ik_z z} + C_3 e^{-ik_z z}, & 0 \leq z \leq L, \end{cases} \quad (3.4)$$

где введены обозначения

$$k_z^2 = -\frac{\mu^2}{R^2} + \frac{\omega^2}{c^2} \varepsilon_{\text{eff}}, \quad k_0^2 = \frac{\mu^2}{R^2} - \frac{\omega^2}{c^2} \approx \frac{\mu^2}{R^2} \quad (3.5)$$

подставить в граничные условия (3.3) и найти коэффициенты C_1, C_2, C_3

$$C_1 = C_2 (1 - e^{2ik_0 L}), \quad C_3 = -C_2 e^{2ik_0 L}, \\ C_2 = -\frac{4\pi i \omega q I_0}{R c^2 (k_0 - ik_z - (k_0 + ik_z) e^{2ik_0 L})}. \quad (3.6)$$

Таким образом, геликонное электрическое поле в плазме источника дается формулами

$$\tilde{E}_\varphi^h = 2iC_2 e^{ik_z L} \sin[k_z(z - L)], \quad \tilde{E}_r^h(z) = i\tilde{E}_\varphi^h(z), \quad (3.7)$$

причем амплитуда C_2 дается последним выражением (3.6).

Зная геликонное поле, как и выше, находим потенциал электрического поля, возбуждаемого им в плазме. Согласно уравнению (ср. с. (2.17)),

$$\frac{\mu^2}{R^2} \varepsilon_\perp \tilde{\Phi} + \varepsilon_\parallel \frac{\partial^2 \tilde{\Phi}}{\partial z^2} = \frac{ig\mu}{R} \tilde{E}_\varphi^h(z), \quad (3.8)$$

¹ Плоский радиочастотный источник плазмы с такой антенной и геометрией, насколько нам известно, в литературе теоретически до сих пор по существу не изучался.

где

$$\Phi = \tilde{\Phi}(z) J_0 \left(\mu \frac{r}{R} \right).$$

Из (3.7) и (3.8) получаем продольные потенциальные электрические поля

$$E_z^L = \tilde{E}_z^L(z) J_0 \left(\mu \frac{r}{R} \right), \quad \tilde{E}_z^L(z) = \frac{2i k_z C_2 e^{i k_z L}}{k_z^2 \varepsilon_{\parallel} + \frac{\mu^2}{R^2} \varepsilon_{\perp}} \cos[k_z(z-L)],$$

$$E_r^L = \tilde{E}_r^L(z) J_0 \left(\mu \frac{r}{R} \right), \quad \tilde{E}_r^L(z) = \frac{2i \frac{\mu}{R} C_2 e^{i k_z L}}{k_z^2 \varepsilon_{\parallel} + \frac{\mu^2}{R^2} \varepsilon_{\perp}} \sin[k_z(z-L)]. \quad (3.9)$$

Вычислим теперь мощность радиоизлучения, поглощаемую плазмой плоского дискообразного источника, которая в общем случае дается формулой (2.24). Здесь последним слагаемым под интегралом тоже можно пренебречь, и после подстановки (3.7) и (3.8) находим

$$\mathcal{P}_W = \frac{\omega}{4\pi} \int_0^R dr \left\{ \text{Im} \varepsilon_{\parallel} |E_z^L|^2 + 2 \text{Im} \varepsilon_{\perp} |E_r^L|^2 \right\}$$

$$= \frac{2\omega R^2 L}{R^2 c^4} \frac{16\pi^2 \omega^2 q^2 J_0^2(\mu) \cdot 4I_0^2}{k_0^2 \sin^2 k_z L + k_z^2 \cos^2 k_z L}$$

$$\times \left\{ \text{Im} \varepsilon_{\parallel} \frac{q^2 \mu^2}{k_z^2 |\varepsilon_{\parallel}|^2} + 2 \text{Im} \varepsilon_{\perp} \right\} = R_{\text{eff}} I_0^2. \quad (3.10)$$

Из приведенного выше анализа плоского дискообразного источника плазмы в геликонном приближении прежде всего следует сделать вывод, что, как и в случае удлиненного источника, объемными могут быть геликонные волны при выполнении ими условия

$$k_0^2 \sin^2 k_z L + k_z^2 \cos^2 k_z L = 0, \quad (3.11)$$

где k_0 и k_z даются формулами (3.5).

Поскольку $k_0^2 \ll k_z^2$, то корни уравнения (3.11) с хорошей степенью точности совпадают с корнями $\cos^2 k_z L$ т.е. (ср. с (2.14))

$$k_z^2 L^2 = \frac{L^2 \omega^2}{c^2} g^2 \approx \pi^2 (n + 1/2)^2. \quad (3.12)$$

При нахождении величины k_z следует учитывать условие [1.3], согласно которого $\omega \gg k_z$, а поэтому $L \geq 10$ см. Геликонные поля $E_e^h = E_{\phi}^h \gg E_r^L$, причем продольного резонанса, соответствующего обращению в нуль знаменателей выражений (3.9), быть не может, так же как быть не может и двойного резонанса. Поле же E_z^L может дать значительный вклад в сопротивление плазмы. Расчеты для этого случая нами не проводились, так как нам неизвестны экспериментальные измерения в подобной геометрии.

По порядку величины при $L = 10$ см, $R = 10$ см, $B_0 = 50$ Гс и $n_e = 10^{12}$ см⁻³ (вне резонанса) $R_{\text{eff}} \approx 1$ Ω. В резонансе R_{eff} возрастает более чем на порядок, как это имело место выше в случае удлиненного источника.

В заключение сделаем общий вывод: рассмотренные в предельных случаях аналитические решения геликонного источника подтвердили правильность общего точного численного решения задачи в работе [3], которое указывает на перспективность не только вблизи резонансов, но и далеко от них.

Список литературы

- [1] Вавилин К.В., Плаксин В.Ю., Ри М.Х., Рухадзе А.А. // ЖТФ. 2004. Т. 74. Вып. 5. С. 44–49.
- [2] Вавилин К.В., Плаксин В.Ю., Ри М.Х., Рухадзе А.А. // ЖТФ. 2004. Т. 74. Вып. 6. С. 25–28.
- [3] Alexandrov A.F., Bugrov G.E., Kralkina E.A. et al. // J. Russian Laser Research. 2003. Vol. 24. N 4. P. 301–321.
- [4] Boswell R.W. // Plasma Phys. Contr. Fussion. 1984. Vol. 26. N 6. P. 1147.
- [5] Chen F.F. Plasma Phys. Contr. Fussion. 1991. Vol. 33. P. 339. Chen F.F., Chelavier G. // J. Vac. Sci. Technol. 1992. Vol. A10. N 7. P. 1389.
- [6] Alexandrov A.F. et al. // ICPiG-22. New Jersey (USA), 1995. Proc. Contr. Papers. Vol. 4. P. 153. ICPiG-25. Nagoya (Japan), 2002. Proc. Contr. Papers. Vol. 3. P. 33.
- [7] Shamray K.P., Alexandrov A.F., Kralkina E.A. et al. // J. de Physique. 1997. Vol. III. N 10. P. Pc-4-365–375.
- [8] High Density Plasma Sources / Ed. O.A. Popov. New Jersey (USA): Neyes Public., 1995.
- [9] Воробьев Н.Ф., Рухадзе А.А. // Физика плазмы. 1994. Т. 20. № 4. С. 1065.
- [10] Александров А.Ф., Бугров Г.Е., Кралькина Е.А. и др. // ЖТФ. 1994. Т. 64. Вып. 1. С. 53.
- [11] Александров А.Ф., Бугров Г.Е., Кралькина Е.А. и др. // Прикладная физика. 1995. № 1. С. 5.